

Переработка сырья и ресурсосбережение

УДК 621.35:542.973:541.13

**Ведь М.В., Сахненко Н.Д., Глушкова М.А.,
Майба М.В., Дементий А.В.**

Национальный технический университет «ХПИ», Харьков

Каталитическая активность покрытий на основе переходных металлов

Исследовано влияние режимов электролиза и состава электролита на выход по току, состав и структуру электролитических покрытий сплавом серебро-кобальт и смешанными оксидами $TiO_2 \cdot M_x O_y$ ($M = Mn, Co, Ni$). Проведено тестирование электрохимически синтезированных покрытий в реакции окисления CO и показана их высокая каталитическая активность.

Ключевые слова: сплав серебро-кобальт, смешанные оксиды на основе переходных металлов, каталитическая активность, окисление CO.

Досліджено вплив режимів електролізу та складу електроліту на вихід за струмом, склад та структуру електролітичних покрівель сплавом срібло-кобальт та змішаними оксидами $TiO_2 \cdot M_x O_y$ ($M = Mn, Co, Ni$). Проведено тестування електрохімічно синтезованих покрівель у реакції окиснення CO та показано їх високу каталітичну активність.

Ключові слова: сплав срібло-кобальт, змішані оксиди на основі переходних металів, каталітична активність, окиснення CO.

Неуклонный рост потребления топлива в энергетике, на транспорте и в других отраслях промышленности приводит к увеличению объема выброса в атмосферу токсичных эмитентов. Серьезной проблемой является возрастающее загрязнение атмосферы оксидом углерода, который содержится в технологических и отходящих газах предприятий черной и цветной металлургии, причем 54,3 % всех выбросов CO приходится на агломерационное производство, вторым по объему выбросов является доменное (26,9 %), третьим — конвертерное (6,05 %). Эмиссия CO на других технологических переделах менее существенна [1]. Необходимость удаления монооксида углерода из отходящих газов обусловлена прежде всего его токсичностью, однако для сопутствующих газов метал-

лургических технологий, содержащих повышенное количество CO, не менее важной задачей является рациональное использование энергетического и химического потенциала этого газа [2]. В настоящее время в Японии, Германии и США действуют промышленные установки по обезвреживанию дымовых газов [3], однако в Украине ни на одном из предприятий не предусмотрены глубокая очистка или рециклинг газовых выбросов.

Уровень загрязнения атмосферы городов превышает допустимые нормативы из-за токсичных веществ, поступающих в атмосферу с выхлопными газами транспортных средств. Для удаления небольших количеств CO, содержащихся в газах, применяют каталитические, абсорбционные и реже адсорбционные методы.

Наиболее эффективным и предпочтительным с экономической точки зрения является каталитический метод, позволяющий снижать содержание вредных веществ до уровня предельно допустимых концентраций. Каталитический процесс нейтрализации продуктов горения протекает, как правило, при температурах выше 300 °С и малой длительности контакта, что связано с большими скоростями потока промышленных выбросов и отработанных газов двигателей внутреннего сгорания и дизелей. В соответствии с этим к катализаторам очистки газов предъявляются жесткие требования: высокая активность и избирательность каталитического действия, термостабильность, устойчивость к действию ядов, высокая механическая прочность и теплопроводность. Катализаторы не должны быть потенциально опасными, а их производство не должно привносить дополнительные загрязнения в окружающую среду [4, 5]. Наибольшее распространение в последнее время получили насыпные (гранулированные) и монолитные многокомпонентные каталитические системы, содержащие благородные металлы (Au, Ag, Pt, Pd, Rh, Ir) либо композиции переходных металлов и их оксидов (Mn, Fe, Cr, V, Mo, Co, Ce, Ni, W, Cu, Sn) на различных носителях [6].

Покрытия оксидами переходных металлов, в особенности кобальта, никеля и марганца [7], а также сплавами серебро-кобальт [8] представляют значительный интерес, в первую очередь благодаря перспективам их применения в качестве недорогих каталитически активных материалов для электрохимических и гетерофазных превращений. Большинство современных химических и механо-химических технологий каталитических систем на основе оксидов переходных металлов отличаются сложностью и многостадийностью, и не всегда обеспечивают равномерное распределение и высокую адгезию активного слоя к поверхности носителя. С этих позиций перспективным представляется метод микродугового оксидирования, который позволяет формировать матрицу оксида металла-носителя, например, алюминия или титана с одновременным включением компонентов электролита, обеспечивая высокие адгезионные свойства и равномерность покрытий. Кроме того, электрохимические методы синтеза покрытий на основе переходных металлов [9] обеспечивают гибкое управление составом, свойствами и морфологией поверхности, а следовательно, и каталитической активностью материала варьированием состава электролита и режимов электролиза.

Цель настоящей работы – исследование влияния параметров электролиза на состав и морфологию поверхности покрытий сплавом серебро-кобальт и смешанными оксидами на основе переходных металлов, а также изучение каталитической активности синтезированных систем в реакции окисления CO.

Покрытия сплавом серебро-кобальт осаждали на металлические носители (медную фольгу и сплав H80X20) в нестационарном режиме с использованием потенциостата ПИ-50-1,1 и программатора ПР-8, варьируя скважность импульсов в диапазоне 2–11 и частоту импульсов 18–68 Гц. Обработка носителя включала стандартную процедуру электрохимического обезжиривания, промывку и последующее травление в смеси азотной и серной кислот (для меди) либо насыщенном растворе хлорида железа (III) при 60 °С (для никрома) [10]. Электроосаждение проводили при комнатной температуре без перемешивания электролита с использованием инертных платиновых анодов. Электролиты готовили на дистиллированной воде из Ag_2SO_4 , $\text{CoSO}_4 \cdot 7\text{H}_2\text{O}$, $\text{K}_4\text{P}_2\text{O}_7$ и $\text{Na}_3\text{C}_6\text{P}_5\text{O}_7$, pH раствора поддерживали на уровне 9–10. Для предотвращения контактного осаждения серебра катод загружали под током.

Покрытия смешанными оксидами формировали на сплавах титана BT1-0 и OT4-1 методом микродугового оксидирования в гальваностатическом режиме из водных электролитов на основе полифосфатов и цитратов натрия с добавлением солей марганца (II), кобальта (II) и никеля (II) при постоянном перемешивании и охлаждении раствора. Поляризацию осуществляли от источника постоянного тока Б5-50, значения тока и напряжения контролировали амперметром М104 и вольтметром М1107. В качестве катода использовали нержавеющую сталь.

Изучение элементного состава и морфологии поверхности покрытий сплавами и смешанными оксидами проводили с помощью электронного микроскопа (CEM) ZEISS EVO 40XVP.

Каталитическую активность синтезированных покрытий тестировали в реакции окисления монооксида углерода в трубчатом реакторе проточного типа. Исходную смесь CO с воздухом подавали на вход реактора со скоростью 0,025 л/мин при концентрации 1 % (об.). Каталитический реактор представлял собой трубку из кварцевого стекла с коаксиально намотанной греющей спиралью. Температуру реактора увеличивали от 20 до 420 °С со скоростью 1 °С/с. Содержание CO в конечной смеси после прохождения ее через реактор анализировали при помощи сигнализатора-анализатора «Дозор».

Равномерные оксидные покрытия толщиной до 300 мкм с низкой пористостью и высокой адгезией получены на сплавах титана при плотностях тока 0,5–4,0 А/дм² и напряжениях формовки 100–150 В. Степень развития поверхности и размер глобул, являющихся характерным элементом морфологии смешанных оксидных систем, зависит от природы допанта (рис.1, а-в). В ряду исследованных металлов Mn → Co → Ni происходит укрупнение структурных элементов и уменьшение истинной поверхности. С этих позиций наиболее перспективной для катализа представляется система Mn_xO_y·TiO₂.

Анализ элементного состава оксидных систем (см. рис.1) свидетельствует о равномерном распределении Mn, Co, Ni в матрице TiO₂. Зависимость содержания допанта в смешанных оксидах от соотношения концентраций анионов полифосфат : цитрат в электролите и плотности тока формовки создает предпосылки для управления составом синтезируемых материалов варьированием указанных параметров.

Устранение проблем, обычно возникающих при соосаждении в сплав элементов различной активности ($E^{\circ}_{Ag^+/Ag} = +0,8$ В; $E^{\circ}_{Co^{2+}/Co} = -0,28$ В),

достигается за счет использования полилигандных систем с дифференцированным средством комплексообразователей к лигандам. Изучение

механизма электрокристаллизации сплава серебро-кобальт из цитратно-пирофосфатного электролита [11] показало, что лимитирующей стадией процесса является разряд, осложненный адсорбцией реагентов и диссоциацией комплексов. Эти предпосылки стали основой для вывода о целесообразности применения импульсного режима электросинтеза для управления составом и морфологией поверхности сплава серебро-кобальт. При этом одним из основных инструментов, обеспечивающих перераспределение энергетических потоков между электрохимическими, химическими, адсорбционными и диффузионными стадиями процесса, является не столько плотность поляризующего тока, которая играет существенную роль в достижении потенциала восстановления более активного компонента сплава, сколько временные параметры униполярных импульсов: длительность импульса и паузы, их соотношение, частота (f) и скважность (q).

Установлено, что содержание серебра в сплаве Ag-Co закономерно и в полном соответствии с предложенным механизмом снижается по мере роста скважности импульсов (рис.2, а). Действительно, предшествующая химическая реакция диссоциации комплексов кобальта [CoP₂O₇]²⁻ и [CoCit]⁻, более устойчивых в сравнении с комплексами серебра, реализуется в паузе, вследствие чего в приэлектродном слое

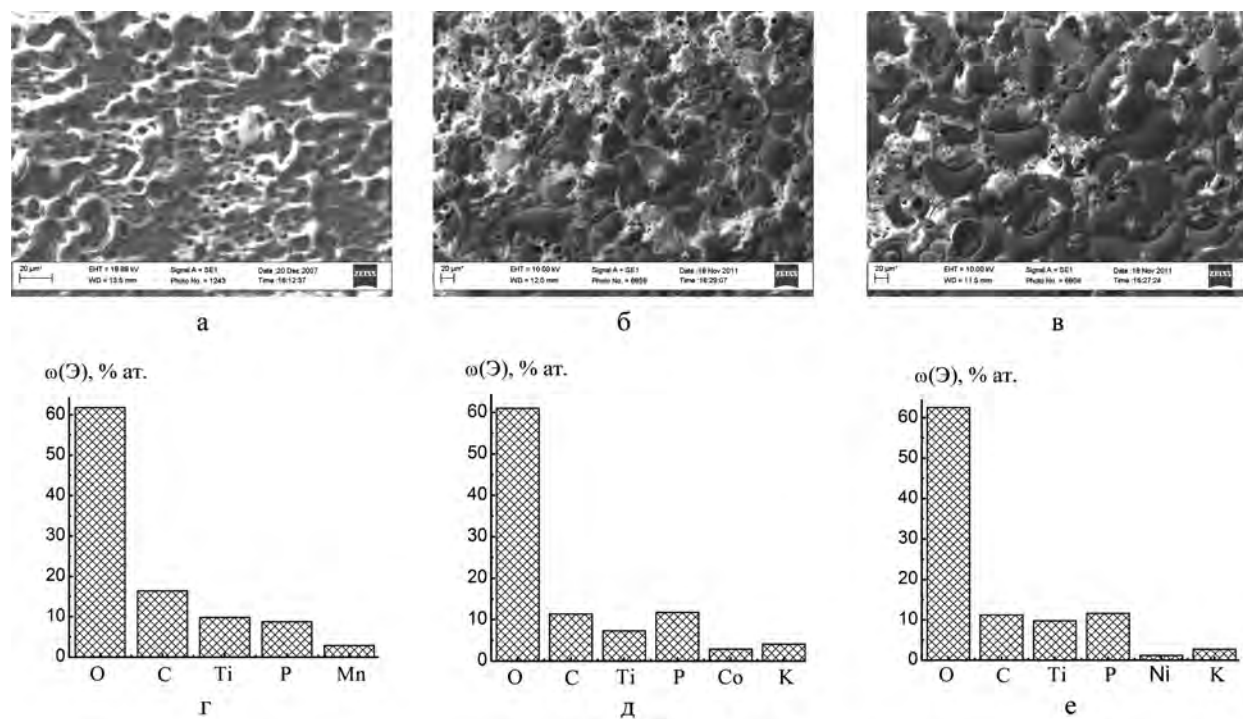


Рис.1. Микрофотографии поверхности ($\times 200$) и состав оксидных покрытий: а, г — Mn_xO_y·TiO₂; б, д — Co_xO_y·TiO₂; в, е — Ni_xO_y·TiO₂.

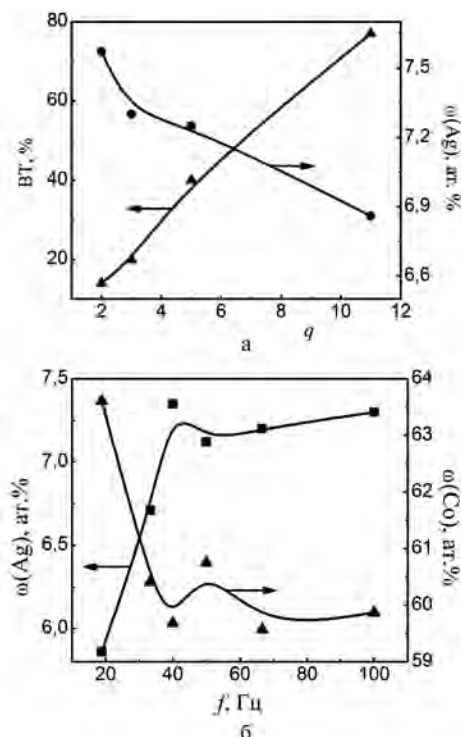


Рис.2. Влияние скважности (а) и частоты импульсов (б) на выход по току и содержание серебра и кобальта в сплаве серебро-кобальт при плотности тока 5 А/дм².

увеличивается концентрация Co^{2+} , и скорость парциальной реакции его восстановления в сплав растет. При увеличении длительности паузы ($t_{\text{п}}$) по отношению к импульсу ($t_{\text{и}}$) возрастает вероятность контактного выделения серебра, которая не столь велика, поскольку при высокой плотности тока импульса (5 А/дм²) потенциал в паузе не выходит из интервала осаждения сплава.

С ростом частоты импульсов тока до 40 Гц наблюдаются увеличение содержания благородного компонента в сплаве и дальнейшая стабилизация на уровне 7,3 % (ат.) (рис.2, б), а содержание кобальта и выход по току сплава снижаются. Такая тенденция является следствием перераспределения скоростей электрохимических, химических и адсорбционных стадий электродного процесса при изменении соотношения $t_{\text{и}}/t_{\text{п}}$, а также интенсификации реакции выделения водорода. Последняя обусловлена снижением водородного перенапряжения на поверхности сплава, обогащенного кобальтом, что является неоспоримым доказательством высокой каталитической активности сплава серебро-кобальт в электрохимических реакциях.

Таким образом, изменение состава электролитического сплава можно обеспечить варьированием только временных параметров электролиза

при постоянной плотности тока поляризующих импульсов и неизменном составе электролита.

Морфология поверхности сплавов, которая наряду с количественным составом существенно влияет на каталитические свойства, трансформируется с изменением состава. Размеры кристаллитов в покрытиях уменьшаются, а удельная поверхность увеличивается с ростом содержания кобальта в сплаве до 64 % (ат.) и уменьшением атомной доли примесей углерода и кислорода (рис.3, а).

Степень равномерности и цвет электролитических сплавов определяются концентрацией серебра. Более равномерные по толщине и светлые покрытия содержат 7,3 % (ат.) более благородного компонента, а с ростом относительной доли углерода и кислорода, как и со снижением ω(Ag) до 5,8 % (ат.), поверхность становится серой и матовой (рис.3, б).

Каталитическая активность электролитических покрытий сплавом серебро-кобальт с различным содержанием серебра и оксидных систем на основе марганца, никеля и кобальта в

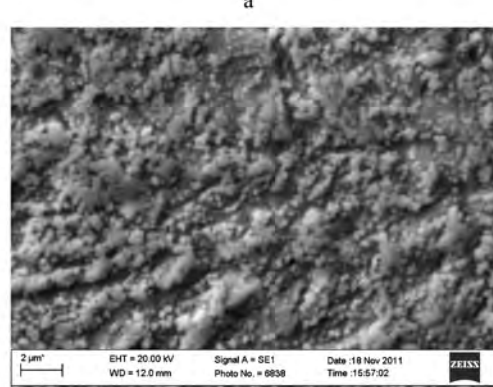
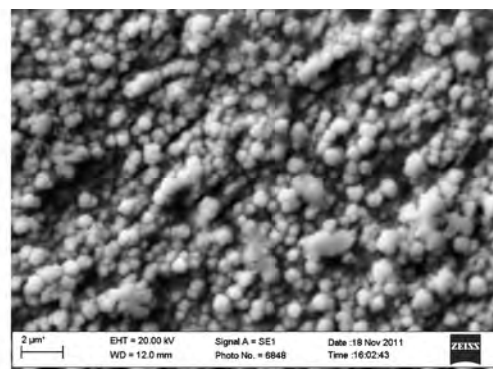


Рис.3. Микрофотографии поверхности покрытия (× 5000), осажденного в импульсном режиме при частоте импульсов, Гц: а – 40; б – 18,8.

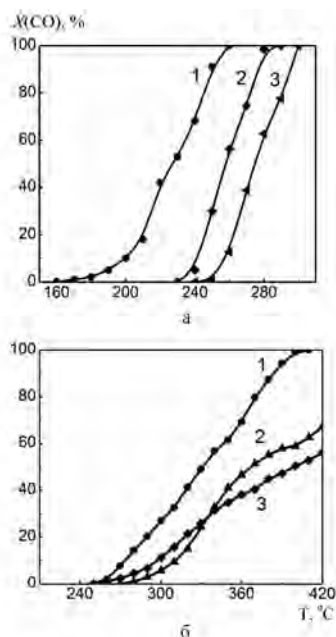


Рис.4. Температурные зависимости степени превращения СО для систем: а — платина $\omega(\text{Pt}) = 100$ (1) и электролитические покрытия сплавом серебро-кобальт с содержанием серебра, % (ат.): 7,3 (2), 5,8 (3); б — $\text{TiO}_2\text{-Mn}_x\text{O}_y$ (1); $\text{TiO}_2\text{-Co}_x\text{O}_y$ (2); $\text{TiO}_2\text{-Ni}_x\text{O}_y$ (3).

реакции окисления монооксида углерода может быть охарактеризована двумя показателями: температурой зажигания T_3 , отвечающей началу работы катализатора, и степенью превращения $X(\text{CO})$ монооксида углерода в диоксид [12]:

$$X = \frac{[\text{C}(\text{CO})_{\text{н}} - \text{C}(\text{CO})_{\text{к}}]}{\text{C}(\text{CO})_{\text{н}}} \cdot 100 \%,$$

где $\text{C}(\text{CO})_{\text{н}}$, $\text{C}(\text{CO})_{\text{к}}$ — начальная и конечная концентрации СО на выходе из реактора, %.

Как видно из температурных зависимостей (рис.4), реакция окисления СО на платиновом катализаторе ($\omega(\text{Pt}) = 100$ % (ат.)) начинается при 200 °C, на сплавах серебро-кобальт — при 240–250 °C, на оксидных системах — при 250–270 °C, что является подтверждением каталитической активности синтезированных систем. Степень превращения СО в исследуемом температурном интервале для покрытий сплавом серебро-кобальт и оксидной системы $\text{TiO}_2\text{-Mn}_x\text{O}_y$ достигает 100 %, что находится в полном соответствии с высказанными ранее предположениями и подтверждает перспективность использования материалов в качестве катализаторов обезвреживания монооксида углерода. Степень конверсии СО для оксидных систем $\text{TiO}_2\text{-Co}_x\text{O}_y$ и $\text{TiO}_2\text{-Ni}_x\text{O}_y$ при 420 °C составляет 65 и 56 % соответственно, а полная конверсия монооксида

углерода на этих материалах может быть достигнута при еще более высоких температурах.

Таким образом, синтезированные электрохимические покрытия сплавом серебро-кобальт и оксидная система $\text{Mn}_x\text{O}_y\text{-TiO}_2$ обладают каталитической активностью в реакции окисления монооксида углерода, близкой к платине.

Выводы

Электрохимические методы обеспечивают формирование каталитически активных материалов на основе переходных металлов в одну стадию и значительно упрощают технологию и регенерацию устройств очистки газовых выбросов.

Установлено, что синтезированные покрытия смешанными оксидами $\text{Mn}_x\text{O}_y\text{-TiO}_2$, $\text{Co}_x\text{O}_y\text{-TiO}_2$, $\text{Ni}_x\text{O}_y\text{-TiO}_2$ с содержанием марганца 3,0, кобальта 3,0 и никеля 1,2 % (ат.) обладают равномерной структурой, низкой пористостью и развитой поверхностью.

Показано, что временные параметры импульсного электролиза (скважность и частота импульсов) существенно влияют на выход по току и состав сплава серебро-кобальт, причем сплав с высоким выходом по току (50–80 %) осаждается при скважности импульсов 2–5 и частоте 18–40 Гц. При варьировании этих параметров получены однородные мелкокристаллические покрытия с содержанием серебра в диапазоне 5,8–7,3 % (ат.).

Тестирование электролитических сплавов серебро-кобальт в реакции окисления монооксида углерода показало, что температура зажигания (T_3) на покрытии с содержанием серебра 7,3 % (ат.) близка к T_3 платины, а степень конверсии СО достигает 100 % при 270 °C. Степень конверсии СО на оксидной системе $\text{Mn}_x\text{O}_y\text{-TiO}_2$ достигает 100 % при 400 °C.

Покрытия сплавом серебро-кобальт и смешанными оксидами $\text{Mn}_x\text{O}_y\text{-TiO}_2$ могут стать альтернативой каталитических нейтрализаторов, содержащих металлы платиновой группы.

Список литературы

- Носков А.С., Пай З.П. Технологические методы защиты атмосферы от вредных выбросов на предприятиях энергетики. — Новосибирск : Изд-во СО РАН, 1996. — 156 с.
- Третьяков В.Ф., Бурдейная Т.Н., Березина Л.А., Любушкин Р.А. Каталитические системы для очистки водорода от СО для топливных элементов // Химия в интересах устойчивого развития. — 2005. — № 13. — С. 823–829.
- Трусова Е.А., Щодиков М.В., Сливинский Е.В., Марин В.П. Состояние и перспективы каталити-

- ческой очистки газовых выбросов // Нефтехимия. — 1995. — Т. 35, № 1. — С. 3–24.
4. Стайлз Э.Б. Носители и нанесенные катализаторы : Теория и практика. — М. : Химия, 1991. — 240 с.
 5. Попова Н.М. Катализаторы очистки выхлопных газов автотранспорта. — Алма-Ата : Наука КазССР, 1987. — 224 с.
 6. Попова Н.М. Катализаторы очистки газовых выбросов промышленных производств. — М. : Химия, 1991. — 176 с.
 7. Руднев В.С., Кондриков Н.Б., Тырина Л.М. и др. Каталитически активные структуры на металлах // Критические технологии. Мембранны. — 2005. — № 4. — С. 63–67.
 8. Nineva S., Dobrovolska Ts., Krastev I. Properties of electrodeposited silver–cobalt coatings // J. Appl. Electrochem. — 2011. — Vol. 41. — P. 1397–1406.
 9. Ведь М.В., Сахненко М.Д. Каталітичні та захисні покриття сплавами і складними оксидами : Електрохімічний синтез, прогнозування властивостей. — Харків : НТУ «ХПІ», 2010. — 272 с.
 10. Пат. 7144 Укр., МПК⁷ C 25 A 5/00. Спосіб обробки поверхні хромонікелевих сплавів / М.В. Ведь, М.Д. Сахненко, О.В. Богоявленська. — Опубл. 15.06.05, Бюл. № 6.
 11. Глущкова М.А., Савченко В.О., Степанова И.И. и др. Кинетические закономерности осаждения сплавов кобальта из комплексных электролитов // Вопр. химии и хим. технологии. — 2011. — Т. 1, № 4. — С. 132–134.
 12. Снытников П. В., Беляев В.Д., Собянин В.А. Кинетическая модель и механизм селективного окисления CO в присутствии водорода на платиновых катализаторах // Кинетика и катализ. — 2007. — Т. 48, № 1. — С. 100–109.

Поступила в редакцию 14.05.12

**Ved M.V., Sakhnenko N.D., Glushkova M.A.,
Mayba M.V., Dementiy A.V.**

National Technical University «KhPI», Kharkov

The Catalytic Activity of Coatings Based on Transition Metals

The influence of electrolysis mode and electrolyte composition on the current efficiency, composition and structure of silver-cobalt alloy electrolytic coatings and mixed oxides $TiO_2 \cdot M_xO_y$ ($M = Mn, Co, Ni$) are investigated. The testing of electrochemically synthesized coatings in CO oxidation reaction is conducted and their high catalytic activity is displayed.

Key words: silver-cobalt alloy, mixed oxides based on transition metals, catalytic activity, CO oxidation.

Received May 14, 2012